

УДК 536.7:548

ИССЛЕДОВАНИЕ СЕГНЕТОЭЛЕКТРИЧЕСКИХ ФАЗОВЫХ ПЕРЕХОДОВ В НЕУПОРЯДОЧЕННЫХ ТВЕРДЫХ РАСТВОРАХ $PbSc_{1/2}Nb_{1/2}O_3$ и $PbSc_{1/2}Ta_{1/2}O_3$

© 2007 г. Н. Г. Замкова, С. Н. Софонова, В. И. Зиненко

Институт физики им. Л.В. Киренского СО РАН, Красноярск

E-mail: ssn@iph.krasn.ru

Методом Монте-Карло исследованы сегнетоэлектрические фазовые переходы и термодинамические свойства неупорядоченных твердых растворов $PbSc_{1/2}Ta_{1/2}O_3$ и $PbSc_{1/2}Nb_{1/2}O_3$. Параметры эффективного гамильтониана вычислены в рамках обобщенной модели Гордона–Кима. Полученные значения температур фазовых переходов, спонтанной поляризации находятся в удовлетворительном согласии с экспериментальными данными.

Твердые растворы $AB'_xB''_{1-x}O_3$ окислов со структурой перовскита уже в течение многих десятилетий привлекают внимание исследователей. Эти вещества представляют интерес как с прикладной, так и с фундаментальной точек зрения вследствие их необычных электромеханических свойств [1]. Среди многочисленных твердых растворов $AB'_xB''_{1-x}O_3$ важный класс составляют гетеровалентные сплавы, т.е. растворы с элементами B' и B'' , принадлежащим разным столбцам периодической системы. Наблюдаемые физические свойства твердых растворов $AB'_xB''_{1-x}O_3$, в частности сегнетоэлектрический фазовый переход и связанные с ним аномалии электромеханических свойств существенным образом зависят от степени B -катионного упорядочения [1, 2].

В данной работе исследуются сегнетоэлектрические фазовые переходы в полностью неупорядоченных твердых растворах $PbSc_{1/2}Ta_{1/2}O_3$ и $PbSc_{1/2}Nb_{1/2}O_3$. Твердые растворы $PbSc_{1/2}Ta_{1/2}O_3$ и $PbSc_{1/2}Nb_{1/2}O_3$ при высоких температурах имеют структуру перовскита, а при низких температурах – ромбоэдрическую структуру [3]. Ранее нами была исследована динамика решетки этих соединений в кубической фазе [4]. В табл. 1 показаны рассчитанные параметры решетки, диэлектрические прони-

цаемости и эффективные заряды Борна для рассматриваемых соединений.

Для определения температуры сегнетоэлектрических фазовых переходов и описания термодинамических свойств в районе фазового перехода неупорядоченных твердых растворов $PbSc_{1/2}Ta_{1/2}O_3$ и $PbSc_{1/2}Nb_{1/2}O_3$ использован эффективный гамильтониан, предложенный в [5, 6]. Сегнетоэлектрические фазовые переходы типа смещения связаны с движением ионов по собственному вектору “мягкой” сегнетоэлектрической моды решеточных колебаний, поэтому для удовлетворительного описания фазового перехода достаточно одной “локальной моды”, определяемой этими смещениями:

$$S^\alpha = u \sum_i \xi_{i\alpha}, \quad (1)$$

где $\alpha = x, y, z$; u – амплитуда “локальной моды”; $\xi_{i\alpha}$ – собственный вектор моды колебаний решетки (см. табл. 2).

Для исследования сегнетоэлектрического фазового перехода в каждый узел простой кубической ячейки помещается трехкомпонентная “локальная мода” (1). Эффективный гамильтониан в этом случае записывается следующим образом [5]:

Таблица 1. Параметры решетки (а.е.), диэлектрическая проницаемость, эффективные заряды Борна кристаллов $PbSc_{1/2}Nb_{1/2}O_3$ (PSN) и $PbSc_{1/2}Ta_{1/2}O_3$ (PST)

Соединение	A_0	ϵ_∞	$Z_{\text{эф}, Pb}$	$Z_{\text{эф}, \langle B \rangle}$	$Z_{\text{эф}, O1}$	$Z_{\text{эф}, O3}$
PSN	7.45	3.49	2.72	5.15	-4.10	-1.89
PST	7.62	3.31	2.65	3.94	-2.31	-2.14

Таблица 2. Собственные векторы сегнетоэлектрической моды колебаний и ее эффективный заряд (а.е.)

Соединение	ξ_{Pb}	$\xi_{\langle B \rangle}$	ξ_{O1}	ξ_{O3}	Z^*
PSN	0.77	0.21	-0.15	-0.41	5.35
PST	0.79	0.07	0.01	-0.44	4.20

Таблица 3. Выражения энергий через константы взаимодействий $\{J\}$ и вычисленные значения энергий (а.е.) диполь-дипольных и короткодействующих взаимодействий

№	Константы взаимодействия	PbSc _{1/2} Nb _{1/2} O ₃		PbSc _{1/2} Ta _{1/2} O ₃	
		E^{short}	E^{dip}	E^{short}	E^{dip}
1	$2j_1 + j_2 + 4j_3 + 2j_4 + 4j_6$	-0.0031406	-0.027210	-0.000303	-0.004195
2	$2j_1 - j_2 - 4j_3 + 2j_4 - 4j_6$	0.0188037	0.062928	0.003996	0.009702
3	$j_2 - 2j_4 - 4j_6$	0.0001699	-0.031464	0.000713	-0.004851
4	$-j_2 - 2j_4 + 4j_6$	0.0095878	0.017388	0.002930	0.002680
5	$-2j_1 + j_2 - 4j_3 + 2j_4 + 4j_6$	0.0003145	-0.034776	0.000465	-0.005361
6	$-2j_1 - j_2 + 4j_3 + 2j_4 - 4j_6$	0.0074552	0.0	0.002248	0.0
7	$j_1 - 2j_5 - 4j_7$	0.0075199	0.019047	0.001654	0.000380
8	$-j_1 - 2j_5 + 4j_7$	0.0009676	-0.003021	0.000614	-0.000465

Таблица 4. Параметры эффективного гамильтониана для твердых растворов PbSc_{1/2}Ta_{1/2}O₃ и PbSc_{1/2}Nb_{1/2}O₃

PbSc _{1/2} Nb _{1/2} O ₃		PbSc _{1/2} Ta _{1/2} O ₃	
без выделения ДД-взаимодействий	с выделением ДД-взаимодействий	без выделения ДД-взаимодействий	с выделением ДД-взаимодействий
Одноузельные константы взаимодействий (а.е.)			
$A = 0.01491$	$A = 0.02436$	$A = 0.01902$	$A = 0.02484$
$B = 0.01376$	$B = 0.01376$	$B = 0.01811$	$B = 0.01811$
$C = 0.01819$	$C = 0.01819$	$C = 0.01210$	$C = 0.01210$
Межузельные константы взаимодействия (а.е.)			
$J_1 = 0.00274$	$J_1 = -0.02171$	$J_1 = 0.00136$	$J_1 = -0.01373$
$J_2 = -0.01664$	$J_2 = 0.06069$	$J_2 = -0.01460$	$J_2 = 0.03306$
$J_3 = -0.00257$	$J_3 = 0.00704$	$J_3 = -0.00175$	$J_3 = 0.00418$
$J_4 = 0.00068$	$J_4 = -0.00437$	$J_4 = -0.00061$	$J_4 = -0.00373$
$J_5 = -0.00217$	$J_5 = 0.00976$	$J_5 = -0.00154$	$J_5 = 0.00677$
$J_6 = -0.00089$	$J_6 = 0.00147$	$J_6 = -0.00057$	$J_6 = 0.00088$
$J_7 = -0.00159$	$J_7 = 0.00073$	$J_7 = -0.00110$	$J_7 = -0.00001$

$$E^{tot} = E^{anharp}(\{S_i\}) + E^{short}(\{S_i\}, \{S_j\}) + E^{dip}(\{S_i\}, \{S_j\}). \quad (2)$$

Первое слагаемое в эффективном гамильтониане (2) представляет энергию изолированных “локальных” мод:

$$E^{anharp}(\{S\}) = \sum_i (AS_i^2 + BS_i^4 + C(S_i^{x^2} S_i^{y^2} + S_i^{x^2} S_i^{z^2} + S_i^{y^2} S_i^{z^2})), \quad (3)$$

A , B и C – одноузельные константы взаимодействий.

Второе слагаемое – энергия взаимодействия между “локальными” модами:

$$E^{short}(\{S_i\}, \{S_j\}) = \frac{1}{2} \sum_{i \neq j} \sum_{\alpha \beta} J_{ij, \alpha \beta} S_i^\alpha S_j^\beta, \quad (4)$$

$J_{ij, \alpha \beta}$ – константы межузельных взаимодействий. Поскольку в данном случае симметрия кристаллов кубическая и учтены взаимодействия с первыми, вторыми и третьими соседями, имеется только семь независимых констант [5, 6]: j_1 и j_2 описывают взаимодействия с первыми соседями, j_3 , j_4 , j_5 – со вторыми, j_6 , j_7 – с третьими.

Последнее слагаемое в эффективном гамильтониане (2) представляет дальнодействующее диполь-дипольное (ДД) взаимодействие между “локальными” модами

$$E^{dip}(\{S_i\}, \{S_j\}) = \frac{3(Z^*)^2}{\epsilon_\infty + 2} \sum_{ij, \alpha \beta} Q_{ij}^{\alpha \beta} S_i^\alpha S_j^\beta, \quad (5)$$

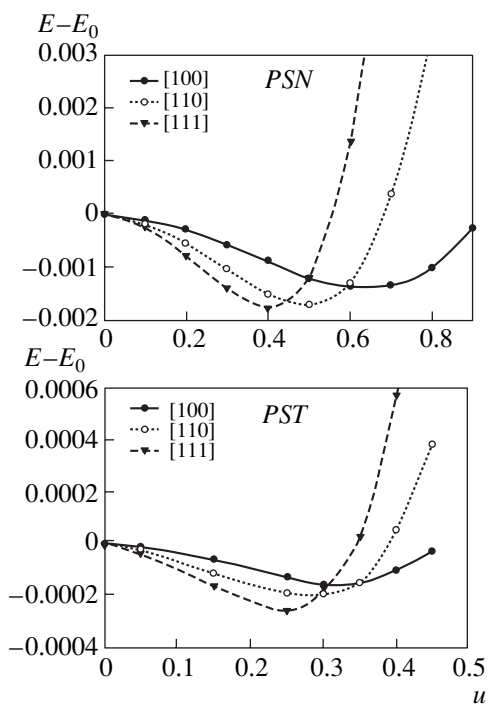
где $Z^* = \sum_{\alpha k} Z_{\alpha \Phi}^{\alpha k} \xi_{k \alpha}$ – модовый заряд (табл. 2), $Z_{\alpha \Phi}^k$ – тензор эффективного заряда Борна k -того иона, ϵ_∞ –

Таблица 5. Температуры сегнетоэлектрических фазовых переходов твердых растворов $\text{PbSc}_{1/2}\text{Ta}_{1/2}\text{O}_3$ и $\text{PbSc}_{1/2}\text{Nb}_{1/2}\text{O}_3$

Кристалл	Температура фазового перехода, К			Спонтанная поляризация, Кл · м ⁻²	
	с выделением ДД-взаимодействий	без выделения ДД-взаимодействий	эксперимент	расчет	эксперимент
$\text{PbSc}_{1/2}\text{Nb}_{1/2}\text{O}_3$	670	620	~350–370 [3]	0.27	0.25 [10]
$\text{PbSc}_{1/2}\text{Ta}_{1/2}\text{O}_3$	250	220	~250–280 [3]	0.13	

диэлектрическая проницаемость (см. табл. 1), $Q_{ij}^{\alpha\beta}$ – структурные константы, зависящие от геометрии решетки и рассчитанные методом Эвальда. Здесь следует заметить, что мы используем иное, чем в [5, 6], выражение для энергии ДД-взаимодействий. Как было показано в работе Квятковского [7], выражение для дипольной энергии, используемое в [5, 6], приводит к существенному занижению $(\varepsilon_{\infty} + 2)/3\varepsilon_{\infty}$ раз) ДД-вклада.

Параметры эффективного гамильтонiana определены из расчета энергий различных искаженных структур в рамках обобщенной модели Гордана–Кима для ионного кристалла с учетом деформируемости, дипольных и квадрупольных искажений электронной плотности ионов [8]. При расчете



энергий использовали приближение виртуального кристалла [4]. Расчеты проводили на экспериментальном параметре решетки, который примерно одинаков для обоих твердых растворов и равен 7.70 а.е. [3]. Одноузельные константы A, B, C вычисляли методом наименьших квадратов из зависимостей полной энергии кристалла от амплитуды и трехкомпонентного вектора S (рис. 1).

В обоих твердых растворах наиболее выгодной оказывается структура со смещениями ионов в направлении [111]. Такие смещения приводят к ромбоэдрическому искажению решетки, что соответствует экспериментальной ситуации [3].

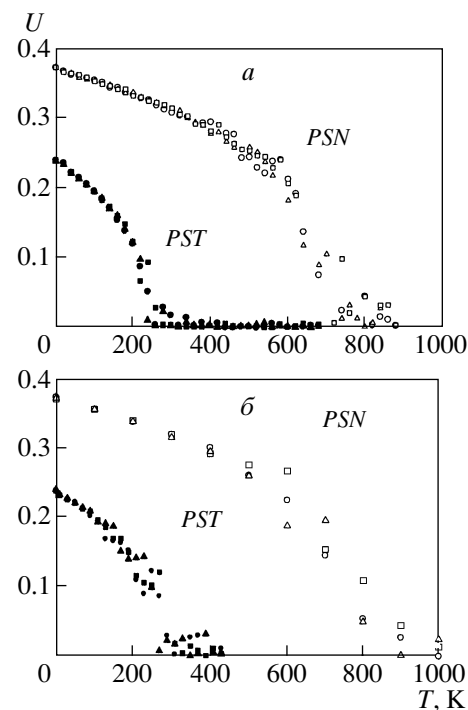


Рис. 2. Температурные зависимости параметра порядка для твердых растворов $\text{PbSc}_{1/2}\text{Nb}_{1/2}\text{O}_3$ (белые символы) и $\text{PbSc}_{1/2}\text{Ta}_{1/2}\text{O}_3$ (черные символы): *а* – без выделения ДД-взаимодействий; *б* – с выделением ДД-взаимодействий. Разные символы соответствуют трем компонентам вектора "локальной" моды S .

Для определения межузельных констант взаимодействий $\{J_i\}$ использованы энергии семи различных упорядоченных структур, приведенных в [5]. Для разделения констант j_5 и j_7 нами была добавлена еще одна структура, которая получена путем удвоения элементарной ячейки структуры 7 в [5]. В табл. 3 приведены выражения для короткодействующей части энергии упорядоченных структур (колонка 2) и их численные значения, а также величины дипольных энергий.

Для того чтобы определить, как влияют дальнодействующие ДД-взаимодействия на температуру сегнетоэлектрического фазового перехода, мы вычислили два набора констант взаимодействия: без явного выделения дальнодействующих ДД-взаимодействий и с выделением. Оба набора констант приведены в табл. 4.

Температурное поведение системы и температуры сегнетоэлектрических фазовых переходов определяли методом Монте-Карло. Мы использовали обычный алгоритм Метрополиса [9] для простой кубической решетки $10 \times 10 \times 10$ с периодическими граничными условиями. Первые 80000 шагов для каждой температуры отбрасывались и не участвовали в усреднении. Средние значения энергии, параметров порядка и теплоемкости вычисляли в два этапа. После каждого 50 шагов вычисляли групповые средние, а затем проводили усреднение по 200 группам. Температуру фазового перехода определяли из температурных зависимостей энергии и параметра порядка. В качестве начальных температур брали как высокие (1000 К), так и низкие (50 К) температуры. При понижении температуры происходит разупорядочение всех трех компонент "локальной" моды. На рис. 2 приведены

температурные зависимости параметра порядка, а в табл. 5 – вычисленные температуры сегнетоэлектрических фазовых переходов в неупорядоченных твердых растворах $PbSc_{1/2}Ta_{1/2}O_3$ и $PbSc_{1/2}Nb_{1/2}O_3$. Как видно из табл. 5 и рис. 2, вычисленные температуры сегнетоэлектрических фазовых переходов с выделением и без выделения дальнодействующих ДД-взаимодействий практически не различаются и качественно согласуются с экспериментальными данными [3].

Работа выполнена при поддержке Фонда содействия отечественной науке, РФФИ, грант № 06-02-16091, и гранта Президента РФ МК-4140.2006.2.

СПИСОК ЛИТЕРАТУРЫ

1. Cross L.E. // Ferroelectrics. 1987. V. 76. P. 241.
2. Srenger C.G.F., Burggraaf A.J. // Phys. Status Solidi (a). 1980. V. 61. P. 275.
3. Malibert C. et al. // J. Phys. Condens. Matter. 1997. V. 9. P. 7485.
4. Zinenko V.I., Sofronova S.N. // Phys. Status. Solidi (c). 2004. V. 1(11). P. 3047.
5. Zhong W., Vanderbilt D., Rabe K.M. // Phys. Rev. B. 1995. V. 52(9). P. 6301.
6. Waghmare U.V., Rabe K.M. // Phys. Rev. B. 1997. V. 55(10). P. 6161.
7. Квятковский О.Е. // Кристаллография. 2004. Т. 49(1). С. 8.
8. Zamkova N.G., Zinenko V.I., Ivanov O.V. et al. // Ferroelectrics. 2003. V. 283. P. 49.
9. Metropolis N. et al. // Chem. Phys. 1953. V. 21(60). P. 1087.
10. Chu F., Reaney I.M., Setter N. // J. Appl. Phys. 1995. V. 77. P. 1671.